

电波与天线

(下册)

謝處方編著

人民郵電出版社

內容提要

本書分上下兩冊出版，下冊共分十章，專門講述天線，舉凡天線的方向性、阻抗、特性參數以及中長波天線、短波天線、超短波天線、微波天線等全包括在內，此外還講述了饋電線及波導等。

這本書是一本大學講義，但也很適合從事無線電工程的工程師及技術員自修參考之用。

電波與天線（下冊）

編著者：謝方
出版社：人民郵電出版社
地點：北京市崇文區崇文門外大街13號
(北京音像出版社總經理室) (原崇文門外大街104號)
印刷者：北京市印刷一廠
發行者：新华書店

印數：116,000
紙張：220g
每冊：370,000字
序數：3,4206冊
1959年1月北京第1版
1959年1月北京第1次印刷
書名：15015·總845·第223
定價：10.2.15元

緒論

我們知道，一切無線電通訊聯絡都是利用無線電波進行的，而無線電波的發射和接收，却須依靠天綫來完成——天綫是無線電波的出口和入口。發射天綫的作用是將發射機末級迴路的高頻電流變成電磁波向一定的方向發射出去；接收天綫的作用是將來自一定方向的無線電波還原為高頻電流送入接收機的輸入迴路。

設計良好的天綫可以使上述能量的變換達到最佳的效果。對於發射天綫來說，我們可以在需要的方向用最小的電力獲得足夠的場強，同時儘量減小其他方向不必要的干擾；對接收天綫來說，我們可以從外來的無線電波獲得最大的功率，同時要求不會受到其他電台的干擾。例如，對於點與點之間的通訊，假使我們裝置了定向發射天綫，使能量集中向一個方向輻射，則發射機的輸出功率可大為減小。反之，假使我們不裝置定向天綫，或是我們設計的天綫錯誤，則電磁能量的輻射效率很低，雖用很大功率的發射機，在接收點仍不能得到滿意的效果。

最早使用的天綫是 1895 年無線電發明者 A.C. 波波夫在試驗雷電指示器時應用的不對稱接收天綫。後來隨著無線電的發展，陸續出現了長波、中波、短波和超短波等各種天綫。

和其他科學領域一樣，我們的盟邦蘇聯在天綫方面也有着非常卓越的貢獻。早在 1922—1924 年，M.B. 舒來依金和 И.Г. 克里亞茲金等就已提出了關於計算長、中波天綫的各種方法。其後，在短波天綫方面，M.A. 龐奇-布魯也維奇和 B.B. 塔塔里諾夫首先創設了方向性尖銳的短波天綫陣。塔塔里諾夫並提出了用短截綫進行匹配的方法。此外，由 Д.А. 羅讓斯基提出的、以後經過 A.A. 皮斯托闊爾斯加以發展的感應電勢法對於解決天綫陣內各天綫之間相互影響的問題提供了一個最簡便的方法。中波廣播天綫在 1930 年以後受到了很大的重視。各種型式的抗衰落天綫陸續出現，這裏面包括

Г.3. 爰金堡設計的頂端饋電天綫。菱形天綫是1933年出現的。与此同时，对于短波天綫开始提出了大功率和寬波段的要求。С.И.納傑年科的偶極子就是为此設計的。1940年繞射天綫的理論發表了。后来 A.A. 皮斯托闊尔斯提出了用輔助偶極子解决槽天綫問題的方法。

所有以上列举的例子都足以說明我們的盟邦-苏联的学者和工程师們在天綫方面作出了很多的貢獻。

在这本書里我們將有关天綫的內容分为兩大部分。从第一章到第五章为第一部分，叙述天綫的一般理論；从第六章到第十章为第二部分，按波長划分，叙述各种天綫的实际型式和性能。

073447

目 录

緒論

第一章 饋電線 1

- 1.1 均匀饋電線的一般理論 1
- 1.2 損耗可以忽略不計的均匀饋電線——电压和电流的分佈、輸入阻抗 5
- 1.3 無損耗線的行波系数、阻抗的最大与最小值、最大电压与电流 13
- 1.4 效率 16
- 1.5 阻抗圓圖 18
- 1.6 阻抗匹配——匹配網絡 25
- 1.7 $\lambda/4$ 阻抗变换線和短截線 29
- 1.8 指數線 35
- 1.9 饋電線的类型及其特性阻抗 37

第二章 方向性 45

- 2.1 元电流的辐射 45
- 2.2 細長天線 46
- 2.3 天綫陣 53
- 2.4 方向性圖的乘法 62
- 2.5 地面对于天綫方向性圖的影响 65
- 2.6 辐射寬度和主叶張角 70

第三章 阻抗 71

- 3.1 概論 71
- 3.2 辐射功率与辐射电阻 72
- 3.3 等值傳輸線法 78
- 3.4 感应电势法 84
- 3.5 寄生天綫 93
- 3.6 复式天綫陣的辐射阻抗 95

3.7 地面对于天线阻抗的影响	98
3.8 天线的输入阻抗	99
3.9 圆柱天线理论	101
第四章 天线的特性参数	103
4.1 实效长度	103
4.2 方向性系数	105
4.3 增益	109
第五章 接收天线的理论	111
5.1 外电场与感应电势	111
5.2 接收天线的等值电路与最大输出功率	114
5.3 接收天线的有效面积	115
第六章 长中波天线	116
6.1 概论	116
6.2 天线上的电流分布和方向性图	117
6.3 天线的辐射电阻和输入阻抗	121
6.4 天线的电容量和特性阻抗	126
6.5 天线的最大电压和最大功率	137
6.6 天线的损失与效率——地网	139
6.7 天线回路的频率响应和通频带——多路调谐式天线	149
6.8 铁塔天线——抗衰落天线	154
6.9 天线的馈电——接地铁塔天线	162
6.10 例题	166
6.11 接收天线	170
第七章 短波天线	180
7.1 概论	180
7.2 对称天线	181
7.3 同相水平天线	199
7.4 倍波天线	210
7.5 长线天线——谐波天线阵、V形天线	215
7.6 菱形天线	220
7.7 專用接收天线——魚骨形天线	237

7.8 可控制方向性的天线	243
7.9 广播接收天线——全波天线	245
第八章 超短波天线.....	246
8.1 概论	246
8.2 旗桿式天线——板地式天线	246
8.3 折合天线	249
8.4 波渠天线	252
8.5 平面反射器和夾角反射器	260
8.6 对称变换器	264
8.7 旋转场天线	266
8.8 环天线	272
8.9 圆筒开槽天线	280
8.10 接收天线	282
第九章 波导	284
9.1 概論	284
9.2 兩平行面內的波	284
9.3 長方形波导	303
9.4 圆柱形波导	316
9.5 波导与波式的選擇	320
9.6 輸入阻抗和匹配	323
9.7 激励的方法	328
9.8 譜振腔	332
第十章 微波天线	335
10.1 概論	335
10.2 磁流	335
10.3 惠更斯原理、感应原理和等值原理	338
10.4 惠更斯源的輻射場	340
10.5 通过导体面內开口面的輻射	342
10.6 号角天线的輻射	344
10.7 抛物面天线	347
10.8 号角天线	355
10.9 透鏡天线	366
10.10 介質天线	374
10.11 开槽天线	378

附录

第一章 饋电綫

饋电綫是連接天綫与收發訊机之間的電能傳輸綫。

对于饋电綫我們提出下列几点要求。

1. 饋电綫沒有天綫的作用：連接發射机的饋电綫不應該輻射能量；連接接收机的饋电綫不應該受外電場的感应拾取能量。

2. 饋电綫輸送电磁能量的效率應很高，換句話說，在饋电綫上的損失應尽可能小。

3. 饋电綫上的电压不应太大。这一点对連接發射机的饋电綫尤其重要，因为当电压过大时絕緣子的損失既加大，而且容易产生击穿或電暈等現象。

在這一章里我們將叙述饋电綫的一般理論、饋电綫与天綫的阻抗匹配和实际上应用的几种饋綫的特性参数。

1.1 均匀饋电綫的一般理論

沿長度方向沒有变化的饋电綫称为均匀饋电綫。

在电工基础或無綫电基础的教科書中，我們可以找到表示饋电綫上电压与电流分佈情况的电報方程式：

$$\left. \begin{aligned} \frac{\partial V}{\partial z} &= R_1 I + L_1 \frac{\partial I}{\partial t} \\ \frac{\partial I}{\partial z} &= G_1 V + C_1 \frac{\partial V}{\partial t} \end{aligned} \right\} \quad (1 \cdot 1)$$

式中 V 和 I 分別代表饋电綫上某一点的电压与电流， z 代表由末端算起的距离， R_1, L_1, G_1 和 C_1 是饋电綫的分佈常数，分別代表饋电綫每單位長度的电阻、电感、电导和电容。



圖 1.1 均匀饋电綫

当电压和电流作正弦变化时，电報方程式的解是

$$\left. \begin{aligned} V &= Ae^{-\gamma z} + Be^{-\gamma z} \\ I &= \frac{1}{W}(Ae^{\gamma z} - Be^{\gamma z}) \end{aligned} \right\} \quad (1 \cdot 2)$$

式中

$$\gamma = V(R_1 + j\omega L_1)(G_1 + j\omega C_1) \quad (1 \cdot 3)$$

$$W = \sqrt{\frac{R_1 + j\omega L_1}{G_1 + j\omega C_1}} \quad (1 \cdot 4)$$

常数 A 和 B 是由边界条件决定的。假设馈电线的末端负载是 Z_2 ，电压是 V_2 ，电流是 I_2 （图1·2），则以 $z=0, V=V_2, I=I_2$ 代入(1·2)式，可得

$$\left. \begin{aligned} A &= \frac{1}{2}(V_2 + I_2 W) \\ B &= \frac{1}{2}(V_2 - I_2 W) \end{aligned} \right\} \quad (1 \cdot 5)$$

将(1·5)式的 A 和 B 代回(1·2)式，可得

$$\left. \begin{aligned} V &= V_2 ch\gamma z + I_2 W sh\gamma z \\ I &= I_2 ch\gamma z + \frac{V_2}{W} sh\gamma z \end{aligned} \right\} \quad (1 \cdot 6)$$

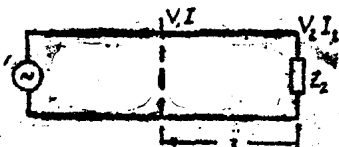


图 1·2 馈电线末端有负载 Z_2

由(1·2)式可知，电压和电流是由两部分组成的：等式右边第一项随着 z 的增大而增大，可以看作入射波；因为入射波是从电源向负载方向传播时逐渐减幅的。第二项随着 z 的增大而减小，可以看作反射波；因为反射波是从负载向电源方向传播时逐渐减幅的。

γ 可以说明传播的情况，称为传播常数。由(1·3)式可知，它是一个复数：

$$\gamma = \sqrt{(R_1 + j\omega L_1)(G_1 + j\omega C_1)} = \sqrt{Z_1 Y_1} = \beta + j\alpha \quad (1 \cdot 7)$$

式中

$$\left. \begin{aligned} Z_1 &= R_1 + j\omega L_1 \\ Y_1 &= G_1 + j\omega C_1 \end{aligned} \right\} \quad (1 \cdot 8)$$

$$\left. \begin{aligned} \beta &= \sqrt{\frac{1}{2} \sqrt{(R_1^2 + \omega^2 L_1^2)(G_1^2 + \omega^2 C_1^2)} + \frac{1}{2}(R_1 G_1 - \omega^2 L_1 C_1)} \\ \alpha &= \sqrt{\frac{1}{2} \sqrt{(R_1^2 + \omega^2 L_1^2)(G_1^2 + \omega^2 C_1^2)} - \frac{1}{2}(R_1 G_1 - \omega^2 L_1 C_1)} \end{aligned} \right\} \quad (1 \cdot 9)$$

傳播常數 γ 是複數說明入射波或反射波不但沿着餌電線有幅值的變化，而且還有相位的變化。我們稱 β 為衰減常數，稱 α 為相位常數。它們分別代表沿餌線每單位長度的幅值和相位的變化。

電波在餌電線上傳播的速度是

$$v = f \cdot \lambda_l = f \cdot \frac{2\pi}{\alpha} = \frac{\omega}{\alpha} \quad (1 \cdot 10)$$

式中 f 是電波的頻率， λ_l 是電波在導線上傳播時的波長。

假設我們用 V_i 代表電壓入射波， V_r 代表電壓反射波， I_i 代表電流入射波， I_r 代表電流反射波，則(1·2)式可簡寫成

$$\left. \begin{aligned} V &= V_i + V_r \\ I &= I_i - I_r \end{aligned} \right\} \quad (1 \cdot 11)$$

式中

$$V_i = A e^{+z} \quad V_r = B e^{-\gamma z} \quad (1 \cdot 12)$$

$$I_i = \frac{A}{W} e^{+z} \quad I_r = \frac{B}{W} e^{-\gamma z} \quad (1 \cdot 13)$$

電壓與電流的入射波或反射波的比值都是 W ：

$$\frac{V_i}{I_i} = \frac{V_r}{I_r} = W \quad (1 \cdot 14)$$

由(1·4)式看出， W 僅與餌電線的參數和使用的頻率有關，它的量綱是阻抗，因此我們稱它為餌電線的特性阻抗，由它決定餌電線上入射波或反射波的電壓與電流的比值。

在餌電線上任何一點的電壓或電流的反射波與入射波的比值稱為餌電線在該點的反射系數：

$$p = \frac{V_r}{V_i} = \frac{I_r}{I_i} = \frac{B}{A} e^{-2\gamma z} = \frac{V_2 - I_2 W}{V_2 + I_2 W} e^{-2\gamma z} = \frac{Z_2 - W}{Z_2 + W} e^{-2\gamma z} = p_0 e^{-2\gamma z} \quad (1 \cdot 15)$$

式中

$$p_0 = \frac{Z_2 - W}{Z_2 + W} \quad (1 \cdot 16)$$

是馈电线在末端负载点($z=0$)的反射系数。

由(1·16)式可得

$$Z_2 = W \frac{1 + p_0}{1 - p_0} \quad (1 \cdot 17)$$

馈电线上任何一点的输入阻抗可以由(1·6)式求得：

$$Z_{in} = \frac{V}{I} = W \cdot \frac{Z_2 ch\gamma z + W sh\gamma z}{W ch\gamma z + Z_2 sh\gamma z} \quad (1 \cdot 18)$$

假使我们用反射系数来表示输入阻抗，可得

$$Z_{in} = \frac{V}{I} = \frac{V_i + V_r}{I_i - I_r} = \frac{V_i(1 + p)}{I_i(1 - p)} = W \frac{1 + p}{1 - p} \quad (1 \cdot 19)$$

现在让我们来讨论三种特殊情况：

1) 馈电线的末端开路， $Z_2 = \infty$ 由(1·15)式，在馈电线的末端($z=0$)

$$p = p_0 = 1, \quad V_r = V_i, \quad I_r = I_i$$

$$\left. \begin{array}{l} \text{末端电压} \\ \text{末端电流} \end{array} \right\} \quad \begin{aligned} V_2 &= V_i + V_r = 2V_i \\ I_2 &= I_i - I_r = 0 \end{aligned} \quad (1 \cdot 20)$$

这是说，当馈电线的末端开路时，末端电压是入射波电压的两倍，而末端电流是零。

输入阻抗可以由(1·18)式令 $Z_2 = \infty$ 求得：

$$Z_{in} = Z_{\infty} = W ch\gamma z \quad (1 \cdot 21)$$

2) 馈电线的末端短路， $Z_2 = 0$ 由(1·15)式，在馈电线的末端($z=0$)

$$p = p_0 = -1, \quad V_r = -V_i, \quad I_r = -I_i$$

$$\left. \begin{array}{l} \text{末端电压} \\ \text{末端电流} \end{array} \right\} \quad \begin{aligned} V_2 &= V_i + V_r = 0 \\ I_2 &= I_i - I_r = 2I_i \end{aligned} \quad (1 \cdot 22)$$

这是说，当馈电线的末端短路时，末端电流是入射波电流的两倍，而末端电压是零。

馈电线上任何一点的输入阻抗是

$$Z_{in} = Z_0 = W \operatorname{th} \gamma z \quad (1 \cdot 23)$$

3) 饋電線的負載阻抗等于它的特性阻抗, $Z_2 = W$

由(1·15)式, 無論在饋電線上那一点

$$p = 0, \quad V_r = I_r = 0$$

末端电压

$$V_2 = V_i$$

末端电流

$$I_2 = I_i$$

$$\left. \begin{array}{l} V_2 = V_i \\ I_2 = I_i \end{array} \right\} \quad (1 \cdot 24)$$

這是說, 當饋電線的負載阻抗等于它的特性阻抗時, 末端电压和末端电流分別等於入射波在末端的电压和电流。在這種情況下, 只有入射波沒有反射波, 稱為行波狀態, 以區別於前面兩種既有入射波也有反射波的駐波狀態。

由(1·18)式可以看出来, 輸入阻抗

$$Z_{in} = W \quad (1 \cdot 25)$$

這個式子與被討論的地点無關, 換句話說, 此時饋電線上任何一點的輸入阻抗是一常數, 等於饋電線的特性阻抗。使饋電線的特性阻抗與負載阻抗相等, 因而可在饋電線上获得行波時, 稱為饋電線與負載相匹配。

將(1·21)與(1·23)式相乘後再開方可得

$$W = \sqrt{Z_\infty Z_0} \quad (1 \cdot 26)$$

在測定饋電線的特性阻抗時常利用這個式子。

1·2 損耗可以忽略不計的均勻饋電線——电压和 电流的分佈、輸入阻抗

當頻率很高的時候, 在大多數情況下 $\omega L_1 \gg R_1, \omega C_1 \gg G_1$, (1·4) 式簡化為

$$W = \sqrt{\frac{L_1}{C_1}} \quad (1 \cdot 27)$$

饋電線的特性阻抗變成純電阻。

衰減常數和相位常數可以由(1·9)式化簡為

$$\left. \begin{aligned} \beta &= \frac{R_1}{2W} + \frac{G_1 W}{2} \\ a &= \omega \sqrt{\frac{L_1 C_1}{}} \end{aligned} \right\} \quad (1 \cdot 28)$$

传播速度 v 按(1·10)式应为

$$v = \frac{\omega}{a} = \frac{1}{\sqrt{L_1 C_1}} \quad (1 \cdot 29)$$

当 R_1, G_1 很小时也可取 $\beta = 0$, 此时电压和电流沿馈线分佈的情况可在(1·6)式中令 $\gamma = j\alpha$ 代入求得:

$$\left. \begin{aligned} V &= V_2 \cos \alpha z + j I_2 W \sin \alpha z \\ I &= I_2 \cos \alpha z + j \frac{V_2}{W} \sin \alpha z \end{aligned} \right\} \quad (1 \cdot 30)$$

相应的输入阻抗是

$$Z_{in} = \frac{V}{I} = W \cdot \frac{Z_2 \cos \alpha z + j W \sin \alpha z}{W \cos \alpha z + j Z_2 \sin \alpha z} \quad (1 \cdot 31)$$

当 $z = (2n+1) \frac{\lambda}{4}$ 时 ($n = 0, 1, 2, \dots$), $\cos \alpha z = 0, \sin \alpha z = 1$

$$Z_{in} = \frac{W^2}{Z_2} \quad (1 \cdot 32)$$

这是说, 馈线上离开负载阻抗为 $\frac{\lambda}{4}$ 奇数倍地点的输入阻抗等于特性阻抗的平方除以负载阻抗。

其次, 当 $z = 2n \cdot \frac{\lambda}{4} = n \cdot \frac{\lambda}{2}$ 时 ($n = 1, 2, \dots$), $\cos \alpha z = \pm 1, \sin \alpha z = 0$,

$$Z_{in} = Z_2 \quad (1 \cdot 33)$$

这是说, 馈线上离开负载阻抗为 $\frac{\lambda}{4}$ 偶数倍地点的输入阻抗等于负载阻抗。

(1·32)与(1·33)式都是重要公式。它们不仅适用在离开负载阻抗为 $\frac{\lambda}{4}$ 整数倍地点求输入阻抗, 而且表明了在馈线上相隔 $\frac{\lambda}{4}$ 整数倍的线段两端的输入阻抗之间的关系。

現在讓我們來分析几种不同負載下的情況

1)饋電線的末端開路, $Z_2 = \infty$

當饋電線末端開路時, $I_2 = 0$, (1·30) 与 (1·31) 式簡化成

$$\left. \begin{aligned} V &= V_2 \cos \alpha z \\ I &= j \frac{V_2}{W} \sin \alpha z \end{aligned} \right\} \quad (1·34)$$

$$Z_{in} = \frac{V}{I} = -j W \operatorname{ctg} \alpha z \quad (1·35)$$

圖 1·3 示饋電線末端開路時, 線上電壓、電流和輸入阻抗的分佈情況。由圖看出, 電壓和電流的相位差 90° , 在饋電線的末端 ($z=0$), 電流為零。

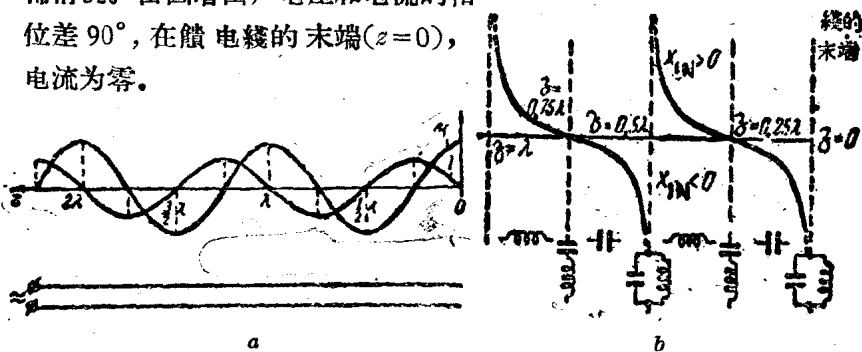


圖 1·3 饋電線末端開路時, 線上電壓、電流和輸入阻抗的分佈情況。

2)饋電線的末端短路, $Z_2 = 0$

當饋電線的末端短路時, $V_2 = 0$, (1·30) 与 (1·31) 式簡化成

$$\left. \begin{aligned} V &= j I_2 W \sin \alpha z \\ I &= I_2 \cos \alpha z \end{aligned} \right\} \quad (1·36)$$

$$Z_{in} = -\frac{V}{I} = j W \operatorname{tg} \alpha z \quad (1·37)$$

圖 1·4 示饋電線末端短路時, 線上電壓、電流和輸入阻抗的分佈情況。電壓和電流的相位差 90° , 在饋電線的末端 ($z=0$) 電壓為零。

3)負載阻抗是純電阻, $Z_2 = R_2$

以 $V_2 = I_2 Z_2 = I_2 R_2$ 代入 (1·30)

式 可得

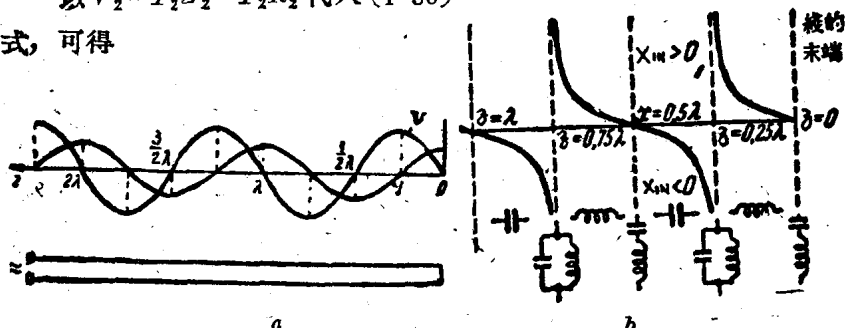
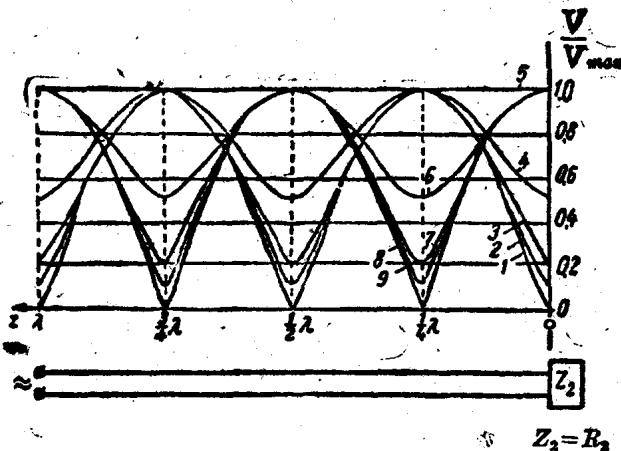


图 1·4 长电梯末端短路时，线上电压、电流和输入阻抗的分布情况。

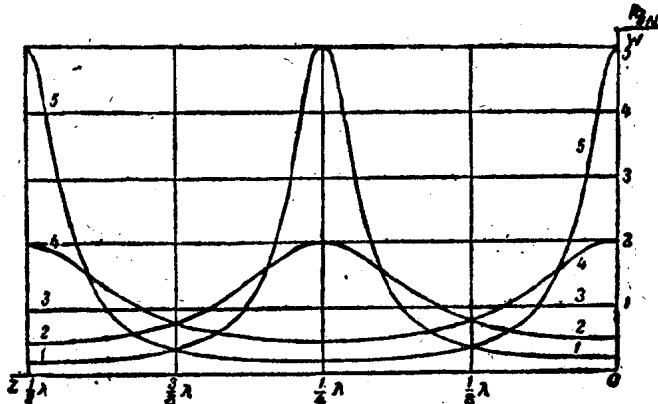
$$\left. \begin{aligned} V &= V_2 \left(\cos \alpha z + j \frac{W}{R_2} \sin \alpha z \right) \\ I &= I_2 \left(\cos \alpha z + j \frac{R_2}{W} \sin \alpha z \right) \end{aligned} \right\} \quad (1·38)$$

相应的输入阻抗是

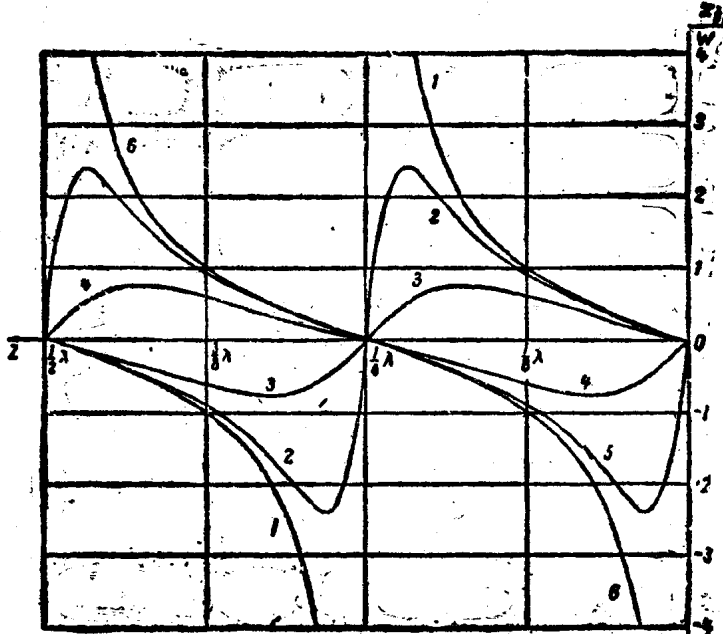


曲线号数	1	2	5	4	5	6	7	8	9
$\frac{R_2}{W}$	0	0.1	0.2	0.5	1	2	5	10	∞

图 1·5 $X_2=0$, R_2/W 等于不同数值时线上电压的分布。



曲線号数	1	2	3	4	5
$\frac{R_2}{W}$	0.2	0.5	1	2	5



曲線号数	1	2	3	4	5	6
$\frac{R_2}{W}$	0	0.2	0.5	2	5	∞

图 1·6 $X_2=0$, R_2/W 等于不同数值时, E_{in}/W 和 X_{in}/W 的变化情况。

$$Z_{in} = \frac{V}{I} = W \cdot \frac{R_2 \cos \alpha z + jW \sin \alpha z}{W \cos \alpha z + jR_2 \sin \alpha z} \quad (1 \cdot 39)$$

图 1·5 示当 $R_2/W = 0, 0.1, 0.2, 0.5, 1, 2, 5, 10, \infty$ 时，线上电压的分佈情况。电流分佈的情况完全相同，只不过与电压分佈曲綫错开 $\frac{\lambda}{4}$ 。

由圖可見，當 $R_2 > W$ 時，饋電綫的末端电压最大；當 $R_2 < W$ 時，饋電綫的末端电压最小。

圖 1·6 示 $R_2/W = 0.2, 0.5, 1, 2, 5$ 時，輸入电阻与輸入电抗沿饋綫的变化情况。

4) 負載阻抗等于特性阻抗， $Z_2 = W$

以 $Z_2 = W$ 代入(1·30)(1·31)式，并利用 $V_2 = I_2 Z_2$ ，可得

$$\left. \begin{array}{l} V = V_2 e^{j\alpha z} \\ I = I_2 e^{j\alpha z} \end{array} \right\} \quad (1 \cdot 40)$$

$$Z_{in} = \frac{V}{I} = W \quad (1 \cdot 41)$$

此时饋電綫上的电压和电流是行波。綫上任何一点的輸入阻抗等于饋電綫的特性阻抗。

5) 負載阻抗是純电抗， $Z_2 = jX_2$

以 $V_2 = I_2 Z_2 = jI_2 X_2$ 代入(1·30)式，可得

$$\left. \begin{array}{l} V = V_2 \left(\cos \alpha z + \frac{W}{X_2} \sin \alpha z \right) \\ I = j \frac{V_2}{W} \left(\sin \alpha z - \frac{W}{X_2} \cos \alpha z \right) \end{array} \right\} \quad (1 \cdot 42)$$

在上式內引入 $\sqrt{X_2^2 + W^2}/X_2$ 因子：

$$\left. \begin{array}{l} V = V_2 \frac{\sqrt{X_2^2 + W^2}}{X_2} \left(\frac{X_2}{\sqrt{X_2^2 + W^2}} \cos \alpha z + \frac{W}{\sqrt{X_2^2 + W^2}} \sin \alpha z \right) \\ I = j \frac{V_2}{W} \frac{\sqrt{X_2^2 + W^2}}{X_2} \left(\frac{X_2}{\sqrt{X_2^2 + W^2}} \sin \alpha z - \frac{W}{\sqrt{X_2^2 + W^2}} \cos \alpha z \right) \end{array} \right\} \quad (1 \cdot 43)$$